

УДК [(577.125 + 581.174):582.263] 574.64

**А. И. Луцив, В. В. Грубинко**

**ЛОКАЛИЗАЦИЯ БИОСИНТЕЗА ЛИПИДОВ У  
*CHORELLA VULGARIS* ПРИ ВОЗДЕЙСТВИИ ИОНОВ  
ЦИНКА, СВИНЦА И ДИЗЕЛЬНОГО ТОПЛИВА**

Представлены данные об интенсивности биосинтеза липидов различных классов в клеточных структурах *Chlorella vulgaris* Вейгер. при воздействии  $Zn^{2+}$ ,  $Pb^{2+}$  и дизельного топлива. Показано, что суммарное содержание липидов и их различных классов в хлоропластах и цитоплазматической фракции изменяется в зависимости от природы токсиканта. Включение  $^{14}C$ -ацетата в липиды различных классов свидетельствует о перемещении синтеза адаптивных классов липидов из хлоропластов в цитоплазматические структуры. Содержание пигментов (хлорофиллов *a* и *b*, феопигментов) при воздействии цинка и свинца увеличивается, а дизельного топлива — уменьшается. При этом наряду с увеличением количества хлоропластов их размеры существенно уменьшаются.

**Ключевые слова:** хлорофиллы, феопигменты, включение  $^{14}C$ -ацетата, липиды, ионы цинка, ионы свинца, дизельное топливо, *Chlorella vulgaris*.

Известно, что синтез липидов у растений локализован преимущественно в хлоропластах [32], в которых *de novo* синтезируется большинство жирных кислот, и лишь незначительно — в митохондриях [29]. Цитозоль клеток растений в синтезе жирных кислот участия не принимает, однако в нем функционирует система удлинения ацильной цепи за счет присоединения двухуглеродных фрагментов к ацильной цепи  $C_{16}$  и  $C_{18}$  кислот, при этом получаются жирные кислоты, используемые при образовании восков и запасных липидов [26]. Кроме того, синтез липидов в клетках растений возможен и в цитоплазме за счет ацетил-КоА, образующегося в процессе окисления жирных кислот, которые экспортируются в цитоплазму из пластид, где их количество особенно велико (в основном 18 : 1 и 16 : 0) [32]. Однако при воздействии стрессоров, например у *Potamogeton perfoliatus* L., выращенного в присутствии  $Cd^{2+}$ ,  $Cu^{2+}$  и  $Zn^{2+}$ , происходит активная структуризация метаболизма с целью поддержания функционального статуса клеточных структур [31]. При этом липидсинтезная активность может увеличиваться не только в хлоропластах [27], но и в других пластидах, которые берут на себя функцию поддержания гомеостатического уровня липидного состава клеток, синтезируя липиды, необходимые для адаптивной перестройки клеточных мембран при формировании токсикорезистентности клеток [32]. Ранее нами установлено, что при воздействии ионов цинка и свинца у хлореллы возрастает включение  $^{14}C$ -ацетата в липиды, но содержание хлорофил-

© Луцив А. И., Грубинко В. В., 2012

лов *a* и *b* уменьшается [3]. При перестройке клеточного метаболизма часто происходит и импорт липидов обратно из цитоплазмы в пластиды (противоток липидов), что необходимо для адаптивной структурно-функциональной перестройки мембран клеток и пластид [32]. В связи с этим возникает вопрос об изменении локализации и интенсивности синтеза липидов различных классов в растительных клетках при стрессовых, в том числе токсических, воздействиях. При изучении водорослей этот вопрос важен как с точки зрения понимания формирования токсикорезистентности в условиях загрязнения водоемов, так и для выяснения механизмов регуляции синтеза липидов различных классов при культивировании [7, 24]. Согласно предварительным исследованиям, ионы некоторых металлов и нефтепродукты влияют на интенсивность и направленность биосинтеза липидов у хлореллы [3—5].

Цель работы — установить локализацию и интенсивность биосинтеза липидов и их качественный состав у *Chlorella vulgaris* Beijer. при воздействии ионов  $Zn^{2+}$ ,  $Pb^{2+}$  и дизельного топлива ( $\Delta T$ ).

**Материал и методика исследований.** Хлореллу выращивали в условиях накопительной культуры в люменостате при освещении лампами дневного света (2500 лк) и температуре  $20 \pm 1^\circ\text{C}$  на питательной среде Фитцджеральда в модификации Цендера и Горема (№ 11) [14]. В экспериментах к культуре добавляли водные растворы солей металлов  $ZnSO_4 \times 7H_2O$  и  $Pb(NO_3)_2$  из расчета на ион:  $Zn^{2+} — 5,0 \text{ мг/дм}^3$ ,  $Pb^{2+} — 0,5 \text{ мг/дм}^3$ , что соответствует 5 ПДК<sub>рыбхоз</sub>, и дизельное топливо в количестве 0,5 мл/дм<sup>3</sup>, что соответствует 10 ПДК<sub>рыбхоз</sub> [6, 21]. В качестве контроля использовали клетки, выращенные в среде без токсициантов. Период инкубации водорослей составлял 1 и 7 суток. Концентрация токсициантов и продолжительность их воздействия выбраны с учетом ранее установленной нами наибольшей выраженности структурно-метаболических перестроек в клетках хлореллы при указанных значениях [4, 5, 11].

Клетки хлореллы гомогенизировали в механическом гомогенизаторе (7000 об/мин) в инкубационном растворе и центрифугировали (3000 г, 10 мин). Надосадочную жидкость рассматривали как цитоплазматическую фракцию, которая, по результатам микроскопического контроля, не содержала хлоропластов. Их выделяли из осадка по методу [8] с использованием ступенчатого центрифугирования в градиенте плотности перколя (40/70%). Хлоропласти отбирали на границе фаз 40/70% перколя и растворяли в буфере (0,33 М сорбит, 50 мМ трицин, 2 мМ ЭДТА, 5 мМ β-меркаптоэтанол, pH 8,0).

Интенсивность биосинтеза липидов оценивали по включению  $[1-^{14}\text{C}]$ -ацетата натрия. Цитоплазматическую фракцию и выделенные хлоропласти инкубировали с 200 кБк  $[1-^{14}\text{C}]$ -ацетата натрия при температуре  $20^\circ\text{C}$  и освещении 2500 лк в течение 90 мин. После остановки реакции трихлоруксусной кислотой (10%) экстракти центрифугировали (3000 г, 15 мин), затем отделяли осадок, из которого липиды экстрагировали хлороформ-метанольной смесью в соотношении 2 : 1 по методу Фолча [9]. Нелипидные примеси из хлороформ-метанольного экстракта удаляли отмыванием

1%-ным раствором KCl [19]. Количество общих липидов определяли весовым методом после отгонки экстрагирующей смеси [9]. Разделение липидов на фракции осуществляли методом восходящей одномерной тонкослойной хроматографии в силикагеле на стеклянных пластинках после предварительного активирования разделяющего слоя [10] с использованием в качестве подвижной фазы смеси гексана, диэтилового эфира и ледяной уксусной кислоты в соотношении 70 : 30 : 1. Хроматограммы проявляли в парах кристаллического йода. Количество неполярных липидов определяли бихроматным методом [19] спектрофотометрически при длине волны 615 нм. Содержание фосфолипидов находили по количеству неорганического фосфора по методу Васьковского после их минерализации при температуре 180°C [33]. Радиоактивность образцов измеряли на сцинтиляционном счетчике LS-100C Beckman (США) и выражали в имп/мин·мг липидов.

Хлоропласти исследовали при помощи микроскопа МБИ-15, увеличение ×600. Количество хлорофилла и феопигментов определяли спектрофотометрически по дифференциальным спектрам их поглощения [16, 17]. Содержание белка устанавливали общепринятым методом Лоури. Полученные результаты обработаны методами вариационной статистики [13].

### **Результаты исследований и их обсуждение**

Известно [36], что водоросли могут накапливать металлы в количестве, в десятки тысяч раз превышающем их содержание во внешней среде. Так, установлено, что у морских микроводорослей клеточные липиды связывают 19% свинца и 15% цинка, а белковая фракция их клеток — 27% меди и свинца — до 19% общего содержания металлов в среде. Поскольку хлоропласти являются высокобелковыми структурами и в них преимущественно локализован синтез липидов, можно предположить прямое воздействие ионов металлов на структуру хлоропластов и содержание в них пигментов [32].

Полученные данные показали (табл. 1), что содержание хлорофилла *a* при воздействии Zn<sup>2+</sup> в течение 7 сут возрастало на 25%, хлорофилла *b* — на 18%, феопигментов — на 6,4% по сравнению с контролем. При воздействии Pb<sup>2+</sup> в течение 1 сут количество хлорофиллов *a* и *b* также увеличивалось соответственно на 12 и 25%, а феопигментов — на 12%. При воздействии ДТ в течение 1 сут содержание хлорофилла *a* уменьшалось на 20%, хлорофилла *b* — на 23%, феопигментов — на 9% по сравнению с контролем. Влияние цинка на этот показатель можно объяснить высокой проницаемостью клеточных мембран для его ионов, их подвижностью в клетке и комплексообразующей способностью, а свинца — высоким сродством к белкам и прочным удерживанием этого металла в составе металлотионеинподобных комплексов [15, 35]. Нефтепродукты, как органические вещества с поверхностно-активным эффектом, обладают мембранотропным действием, в связи с чем их влияние на пигменты может быть косвенным и связанным с модификацией структуры и проницаемостью мембран клеток. Преобладание в их составе ароматических углеводородов и высокая вязкость способствует более длительному контакту токсиканта с поверхностью клеток [30]. Кроме того, у большинства водорослей при остром воздействии нефти и нефтепродуктов происходит снижение интенсивности фотосинтеза и усиление дыхания,

**1. Содержание хлорофиллов и феопигментов (мкг/дм<sup>3</sup> культуральной среды) у *Ch. vulgaris* при воздействии Zn<sup>2+</sup>, Pb<sup>2+</sup> и дизельного топлива ( $M \pm m$ ,  $n = 5$ )**

Варианты опыта	Содержание пигментов				Феопигменты/хл. а
	хл. а	хл. b	хл. а+b	феопигменты	
Контроль (1—7 сут)	108,41 ± 16,78	64,29 ± 7,62	172,70	258,9 ± 18,38	2,39
Zn <sup>2+</sup> (7 сут)	135,25 ± 13,36*	75,64 ± 6,14*	210,89	275,5 ± 16,46*	2,04
Pb <sup>2+</sup> (1 сут)	121,77 ± 16,96*	80,61 ± 7,38*	202,38	290,6 ± 16,71*	2,39
ДТ (1 сут)	86,99 ± 7,34*	49,65 ± 6,67*	136,64	236,3 ± 12,79*	2,70

\* Различия по сравнению с контролем достоверны,  $p \leq 0,02$ —0,05.

приводящее к адаптивным перестройкам фотосинтетического аппарата хлоропластов, что влияет на содержание хлорофиллов [20]. Свидетельством этого является и то, что поверхностно-активные вещества способствуют выходу из клеток водорослей ионов марганца и цинка [25], связанных с фотосинтезом и необходимых для образования кислорода [22]. Таким образом, воздействие ионов металлов и ДТ на содержание пигментов разноплановое, вероятно вследствие различных механизмов их проникновения в клетки и влияния на структурно-функциональные компоненты мембран и пигменты.

Соотношение содержания феопигментов и хлорофилла а показывает, что при воздействии ионов цинка оно снижалось на 15% по сравнению с контролем, ионов свинца — было близким к контрольным значениям, а дизельного топлива — возрастило на 13%. В целом незначительное количество хлорофилла а и преобладание феопигментов (феофитин, феофорбид, хлорофиллид) можно объяснить тем, что они являются продуктами распада хлорофилла а.

Общее содержание липидов в контроле в цитоплазматической фракции было на 41% меньше, чем в хлоропластах (рис. 1), что согласуется с общим представлением о преимущественной локализации синтеза липидов в пластидах [32]. Содержание липидов в цитоплазматической фракции и хлоропластах при воздействии ионов цинка и свинца различалось, что, очевидно, связано с природой токсиканта. Так, ионы Zn<sup>2+</sup> практически не влияли, а ионы свинца увеличивали его в цитоплазматической фракции на 44%. В хлоропластах этот показатель практически не изменился (см. рис. 1).

Интенсификация синтеза липидов в цитоплазматической фракции при воздействии Pb<sup>2+</sup> совпадает с увеличением содержания феопигментов (см. табл. 1).

Нами установлено, что дизельное топливо обуславливает увеличение содержания липидов в цитоплазматической фракции на 46%, а в хлоропластах — на 13%. В целом при действии ионов свинца и ДТ как типичных токсикан-

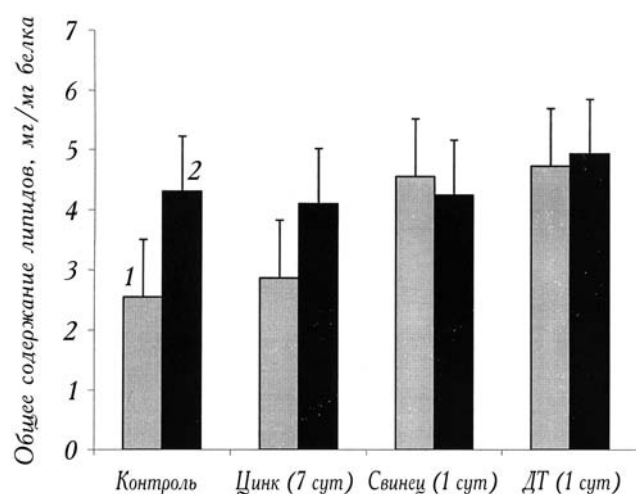
тов возрастает содержание липидов в цитоплазматической фракции, а также изменяется их соотношение в пользу последней, что согласуется с данными об активации синтеза липидов во внешнеклеточных структурах при воздействии ионов металлов [31].

В связи с вышеизложенным важно было установить особенности фракционного состава липидов в цитоплазматической фракции и хлоропластах хлореллы. Оказалось, что содержание триацилглицеролов (ТАГ) в контроле в цитоплазматической фракции и хлоропластах практически не различалось (рис. 2). При этом количество диацилглицеролов (ДАГ) в хлоропластах было на 124%, а фосфолипидов (ФЛ) — на 22% больше, чем в цитоплазматической фракции. Содержание неэтерифицированных жирных кислот (НЭЖК) в хлоропластах также было выше (в 4,8 раза). Полученные данные согласуются с известным фактом преобладания в тилакоидах растений углеводных производных ДАГ, большего количества фосфатидилглицеролов и свободных высших жирных кислот, используемых для синтеза липидов [32]. Практически одинаковое содержание ТАГ в обеих фракциях может быть связано с их накоплением растительными клетками при воздействии токсикантов [5].

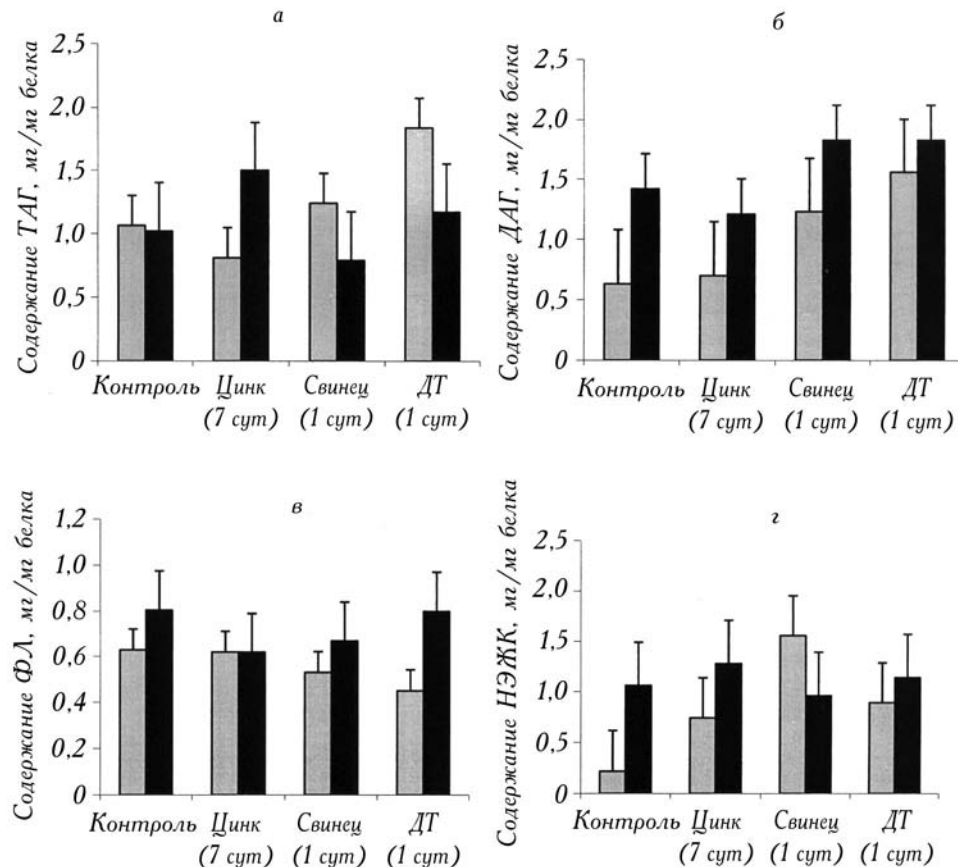
В опытных образцах содержание ТАГ в цитоплазматической фракции при воздействии ионов цинка уменьшалось на 24% (по сравнению с контролем), а ионы свинца и дизельное топливо стимулировали его накопление соответственно на 16 и 73% (см. рис. 2).

Следует отметить, что при воздействии ионов цинка и дизтоплива содержание ТАГ в хлоропластах увеличивалось соответственно на 47 и 15% по сравнению с контролем, при воздействии свинца — уменьшалось на 23%. Значительное увеличение содержания ТАГ в хлоропластах при воздействии  $Zn^{2+}$  может быть связано с его стимулирующим влиянием на синтез липидов, а накопление в цитоплазматической фракции при воздействии ионов свинца и ДТ — уплотнением мембран [11].

В цитоплазматической фракции ДАГ накапливались при воздействии всех исследованных веществ, в наибольшей степени  $Pb^{2+}$  и ДТ (в 2,0—2,5



1. Содержание липидов в клеточных фракциях *Ch. vulgaris* при воздействии токсикантов ( $M \pm m, n = 5$ ). Здесь и на рис. 2: 1 — цитоплазматическая фракция; 2 — хлоропласти.



2. Содержание триацилглицеролов (ТАГ), диацилглицеролов (ДАГ), фосфолипидов (ФЛ) и неэтерифицированных жирных кислот (НЭЖК) в клеточных фракциях *Ch. vulgaris* при воздействии токсикантов ( $M \pm m$ ,  $n = 5$ ).

раза по сравнению с контролем). В хлоропластах относительное содержание ДАГ при воздействии  $Pb^{2+}$  и ДТ возрастало на 30%, а  $Zn^{2+}$  — снижалось на 15%. Таким образом, в цитоплазматической фракции активируется образование ДАГ, что также согласуется с мембранными перестройками в клетках водных растений при воздействии ионов металлов [11, 31].

В отличие от ДАГ содержание ФЛ в цитоплазматической фракции при воздействии  $Pb^{2+}$  и ДТ снизилось соответственно на 16 и 29%, а в хлоропластах при воздействии  $Zn^{2+}$  и  $Pb^{2+}$  — соответственно на 23 и 17%. Это может быть обусловлено как перестройкой мембран (уплотнением), так и их расщеплением из-за активации фосфолипаз [31], а также с участием фосфатных составляющих в других метаболических процессах (функционирование АТФ-аз, обмен фосфатов) [1, 11].

**2. Соотношение относительного содержания ТАГ : ДАГ : ФЛ : НЭЖК у *Ch. vulgaris* при воздействии токсикантов, %**

Варианты опыта	Цитоплазматическая фракция	Хлоропласти
Контроль (1—7 сут)	42 : 25 : 25 : 8	24 : 33 : 19 : 24
Zn <sup>2+</sup> , 5 ПДК (7 сут)	28 : 25 : 22 : 25	31 : 29 : 14 : 26
Pb <sup>2+</sup> , 5 ПДК (1 сут)	27 : 26 : 12 : 34	18 : 44 : 17 : 21
ДТ, 10 ПДК (1 сут)	40 : 31 : 11 : 18	23 : 37 : 17 : 23

Содержание НЭЖК в цитоплазме при воздействии исследованных веществ увеличивалось по сравнению с контролем, в наибольшей степени (в 7 раз) — Pb<sup>2+</sup>. В хлоропластах их количество при воздействии ионов цинка и ДТ увеличивалось соответственно на 21 и 7,5%, а Pb<sup>2+</sup> — уменьшалось на 9% по сравнению с контролем. Увеличение содержания НЭЖК связано с расщеплением фосфолипидов, которые, как отмечалось, могут не только служить источником фосфатов, но и использоваться в энергетическом обеспечении клеток, усиливающимся при воздействии токсикантов [1].

Выявленные нами изменения связаны, очевидно, с выполнением липидами различных адаптивных функций при воздействии веществ разной химической природы. Относительное содержание ТАГ в цитоплазматической фракции при воздействии ионов Zn<sup>2+</sup> снижалось на 33%, а ФЛ — на 12% (табл. 2). При воздействии Pb<sup>2+</sup> и ДТ относительное содержание ТАГ также снижалось — соответственно на 33 и 5%, а ФЛ — на 52 и 56%, тогда как количество ДАГ возрастало на 4 и 24% по сравнению с контролем. Доля НЭЖК при воздействии цинка, свинца и ДТ возрастала соответственно в 3,00, 4,25 и 2,25 раза.

В хлоропластах при воздействии ионов цинка относительное содержание ТАГ и НЭЖК увеличивалось соответственно на 29 и 8%, а ДАГ и ФЛ уменьшалось соответственно на 12 и 26%. Ионы свинца снижали относительное содержание ТАГ на 25%, ФЛ — на 11%, НЭЖК — на 12,5%, ДТ — в несколько меньшей степени (ТАГ — на 4%, ФЛ — на 11%, НЭЖК — на 4%), при этом доля ДАГ возрастала соответственно на 33 и 12%.

Усиление синтеза ТАГ в хлоропластах при воздействии ионов цинка обусловлено, вероятно, уплотнением мембран в клетках водоросли, что может быть защитным механизмом от повреждающего действия и проникновения металла в клетку. Так, количество ТАГ в клетках хлореллы в стрессовых условиях может достигать 80% их сухой биомассы [2]. Снижение их содержания в хлоропластах при воздействии ионов свинца и в цитоплазматической фракции при воздействии всех исследованных токсикантов сопровождается иными перестройками мембранны (изменение вязкости и текучести) [11].

Фосфолипиды входят в состав клеточных мембран, влияют на их текучесть, регулируют связь клеток со средой обитания [23]. В наших опытах содержание фосфолипидов в цитоплазматической фракции и хлоропластах

**3. Включение  $^{14}\text{C}$ -ацетата в липиды *Ch. vulgaris* при воздействии  $\text{Zn}^{2+}$ ,  $\text{Pb}^{2+}$  и дизельного топлива ( $M \pm m$ ,  $n = 5$ )**

Варианты опыта	Включение $^{14}\text{C}$ -ацетата в липиды, имп/мин·мг			
	ТАГ	ДАГ	ФЛ	НЭЖК
Цитоплазматическая фракция				
Контроль (1—7 сут)	48,50 ± 2,12	46,25 ± 1,77	43,75 ± 4,59	52,00 ± 5,19
$\text{Zn}^{2+}$ (7 сут)	40,75 ± 3,89*	58,75 ± 6,83*	43,25 ± 2,77*	52,25 ± 3,18*
$\text{Pb}^{2+}$ (1 сут)	50,00 ± 1,41*	48,50 ± 5,6*	57,00 ± 4,24*	45,50 ± 4,49*
ДТ (1 сут)	46,00 ± 4,38*	46,50 ± 4,24*	50,67 ± 4,02*	49,33 ± 2,08*
Хлоропласти				
Контроль (1—7 сут)	47,00 ± 2,18	49,17 ± 4,93	55,50 ± 5,19	49,00 ± 5,61
$\text{Zn}^{2+}$ (7 сут)	49,67 ± 3,31*	50,83 ± 5,51*	49,33 ± 4,04*	54,67 ± 3,61*
$\text{Pb}^{2+}$ (1 сут)	45,83 ± 2,75*	46,00 ± 2,29*	43,83 ± 2,04*	48,00 ± 5,14*
ДТ (1 сут)	48,17 ± 2,75*	50,33 ± 5,51*	44,83 ± 2,75*	48,33 ± 5,43*

\* Различия по сравнению с контролем достоверны,  $p \leq 0,02$ —0,05.

при влиянии ионов цинка, свинца и ДТ снижалось. Это может быть следствием связывания металлов фосфолипидами, которые обладают высокой сорбционной способностью по отношению к металлам [34] и их извлечением из метаболического пула. Действие дизтоплива можно объяснить способностью нефтепродуктов разрушать плазмалемму, замещая мембранные липиды, в состав которых входят и фосфолипиды [20]. Полученные данные подтвердились при изучении синтеза липидов, оцененного по включению  $^{14}\text{C}$ -ацетата (табл. 3).

Так, при воздействии  $\text{Zn}^{2+}$  включение  $^{14}\text{C}$ -ацетата в ТАГ и ФЛ в цитоплазматической фракции снижалось соответственно на 16,0 и 1,2%, а в ДАГ — возрастало на 27% по сравнению с контролем, тогда как включение метки в НЭЖК практически не изменялось. Включение  $^{14}\text{C}$ -ацетата в ТАГ, ДАГ и ФЛ цитоплазматической фракции при воздействии  $\text{Pb}^{2+}$  увеличивалось соответственно на 3, 5 и 30%, а в НЭЖК — уменьшалось на 12,5%. При воздействии дизельного топлива включение  $^{14}\text{C}$ -ацетата в ТАГ и НЭЖК снижалось на 5%, в ФЛ — возрастало на 16%, в ДАГ — не изменялось.

Таким образом, при воздействии всех исследованных токсикантов синтез липидов активируется преимущественно в цитоплазматической фракции. Однако  $\text{Zn}^{2+}$  как биогенный элемент усиливает образование ДАГ, а  $\text{Pb}^{2+}$  и ДТ — ФЛ, что может быть связано с разным механизмом действия этих веществ на клеточные мембранны хлореллы [11].

**4. Количество и размеры хлоропластов *Ch. vulgaris* при воздействии токсикантов ( $M \pm m$ ,  $n = 5$ )**

Варианты опыта	Количество хлоропластов в 1 мл гомогената	Диаметр хлоропластов, мкм
Контроль(1—7 сут)	$437,59 \pm 50,58$	$11,88 \pm 2,11$
$Zn^{2+}$ (7 сут)	$3706,46 \pm 471,40^*$	$4,48 \pm 1,36^*$
$Pb^{2+}$ (1 сут)	$352,69 \pm 49,05^*$	$11,20 \pm 1,64^*$
$\Delta T$ (1 сут)	$2051,89 \pm 152,15^*$	$6,80 \pm 1,32^*$

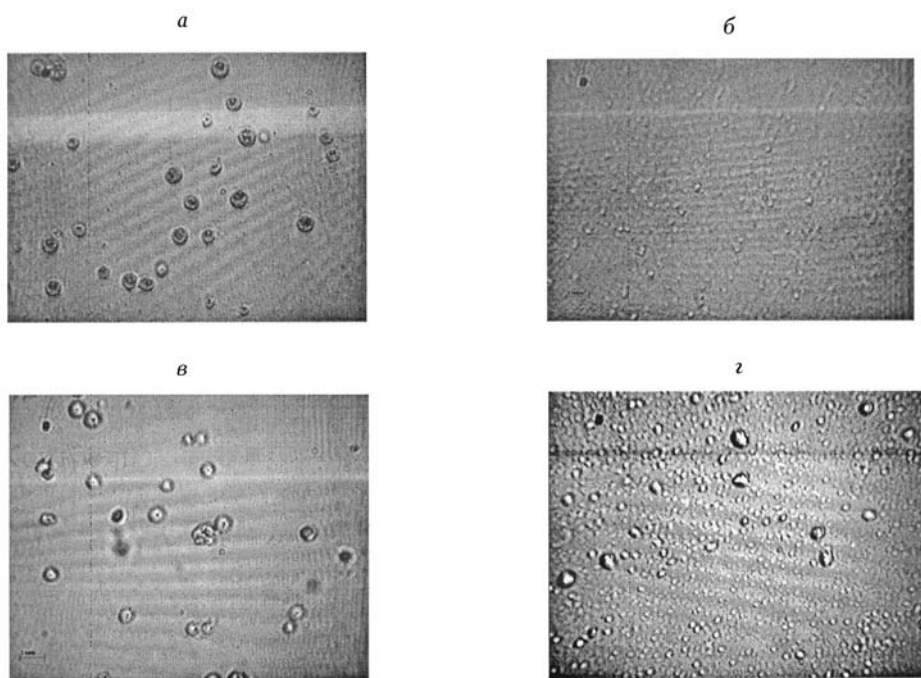
\* Различия по сравнению с контролем достоверны,  $p \leq 0,01$ — $0,05$ .

Включение  $^{14}\text{C}$ -ацетата в липиды хлоропластов при воздействии цинка увеличивалось (в ТАГ — на 5,7%, в ДАГ — на 3,5%, в НЭЖК — на 12,0%) и только в ФЛ — снижалось на 11%. При воздействии свинца включение  $^{14}\text{C}$ -ацетата в ТАГ, ДАГ, ФЛ и НЭЖК уменьшалось соответственно на 2,5, 6,5, 21,0 и 2,0%, тогда как при воздействии дизтоплива включение  $^{14}\text{C}$ -ацетата в ТАГ и ДАГ возрастало на 2,5%, в ФЛ — снижалось на 19%, а в НЭЖК — практически не изменялось.

В целом следует отметить усиление синтеза липидов в хлоропластах, что, наряду с образованием их отдельных классов в цитоплазматической фракции, свидетельствует о перемещении синтеза липидов из хлоропластов в цитоплазматические структуры.

В связи с полученными данными было интересно исследовать морфологическое состояние хлоропластов. Их количество в гомогенате клеток при воздействии цинка и дизельного топлива увеличивалось в 8,5 и 4,7 раза по сравнению с контрольными показателями, а при воздействии свинца — уменьшалось на 19% (табл. 4). При воздействии токсикантов заметно уменьшался диаметр хлоропластов:  $Zn^{2+}$  — на 63%,  $Pb^{2+}$  — на 6%,  $\Delta T$  — на 43% (рис. 3).

Общей закономерностью является то, что при увеличении количества хлоропластов их линейные размеры существенно уменьшались, особенно при действии ионов цинка, в меньшей степени —  $\Delta T$ . Ионы свинца, скорее всего, ингибируют синтез липидов в хлоропластах, поскольку незначительно снижает их количество и размеры. Ионы цинка и  $\Delta T$ , вероятно, снижают способность хлоропластов к синтезу липидов, что сопровождается изменением их морфологии (уменьшаются размеры) и интенсивностью образования (их количество в клетках значительно возрастает). Ранее показано [28], что в клетках мезофилла листьев пшеницы количество хлоропластов на клетку медленно снижалось в процессе старения листьев, когда происходила быстрая деградация хлоропластов. Их размеры также постепенно уменьшались, наиболее значительно в конце старения. Пожелтевшие листья при этом содержали многочисленные структуры, напоминающие капельки жира, как при воздействии на клетки хлореллы дизельного топлива (см. рис. 3, г). В связи этим, полученные нами результаты могут свидетельствовать о



3. Микрофотографии хлоропластов *Ch. vulgaris* при воздействии токсикантов,  $\times 600$ : а — контроль; б —  $Zn^{2+}$  (7 сут); в —  $Pb^{2+}$  (1 сут); г — ДТ (1 сут).

вероятной деградации хлоропластов при интоксикации. Однако механизм действия  $Pb^{2+}$ ,  $Zn^{2+}$  и ДТ на хлоропластины и их липидсинтезную способность, вероятно, различен.

### Заключение

В результате проведенных опытов установлено, что в связи с разным механизмом воздействия исследованных веществ на растительные клетки в исследованных фракциях наблюдаются изменения интенсивности синтеза как липидов в целом, так и их отдельных классов. Поэтому оценка отклика клеток водорослей на воздействие токсикантов по валовому содержанию липидов не является достаточно объективной. Более информативно, на наш взгляд, содержание отдельных классов липидов в клеточных фракциях, поскольку оно отображает их участие в обеспечении адаптивных структурно-функциональных перестроек в клеточных структурах, прежде всего в клеточных мембранах. Вероятно, синтез липидов активируется в других клеточных структурах, в первую очередь в митохондриях и эндоплазматической сети [18]. В хлоропластах, скорее всего, снижается образование адаптивных форм липидов, необходимых клетке для защиты от токсиканта. Кроме того, некоторые вещества, например  $Zn^{2+}$  и ДТ, существенно изменяют количество и размеры хлоропластов, вызывая их деградацию. В связи с этим синтез необходимых адаптивных форм липидов, участвующих в формировании токсикорезистентности клеток, активизируется и в других цитоплазматических структурах.

\*\*

*Наводяться дані про інтенсивність біосинтезу різних класів ліпідів у клітинних структурах *Chlorella vulgaris Beijer.* за дії іонів цинку, свинцю і дизельного палива. Загальний вміст ліпідів їх окремих класів у хлоропластах і цитоплазматичній фракції змінюється залежно від природи токсиканту. Включення  $^{14}\text{C}$ -ацетату в ліпіди різних класів за дії досліджуваних токсикантів свідчить про те, що їх синтез переміщується з хлоропластів в цитоплазматичні структури. Вміст пігментів (хлорофілів *a* і *b*, феопігментів) за дії іонів цинку і свинцю збільшується, а за дії дизельного палива – зменшується. Одночасно із збільшенням кількості хлоропластів їх розміри суттєво зменшуються, особливо за дії іонів цинку і, меншою мірою, дизельного палива.*

\*\*

*The article deals with intensity of the lipids synthesis and their qualitative composition in different cell structures of *Chlorella vulgaris Beijer.* under the impact of  $\text{Zn}^{2+}$ ,  $\text{Pb}^{2+}$  and diesel fuel. The content of pigments (chlorophylls *a* and *b*, phaeopigments) increased under the impact of  $\text{Zn}^{2+}$ ,  $\text{Pb}^{2+}$ , and decreased under the impact of diesel fuel. The content of lipids and their different classes in the cytoplasm fraction and chloroplasts varied depending on the toxicant's nature. Inclusion of  $^{14}\text{C}$ -acetate into different classes of lipids indicated replacement of lipid synthesis from chloroplast to cytoplasm structures. Number of chloroplasts increased, whereas their dimensions significantly decreased, especially under the impact of  $\text{Zn}^{2+}$ , and to a less extent under the impact of diesel fuel.*

\*\*

1. Богнар О.І. Адаптивні властивості водоростей за дії іонів металів : Авто-реф. дис. ... канд. біол. наук. — К., 2008. — 22 с.
2. Верещагин А.Г. Биохимия триглицеридов. — М.: Наука, 1972. — 307 с.
3. Горда А.И. Регуляция биосинтеза липидов у *Chlorella vulgaris* Beijer. ионами цинка и свинца // Тез. докл. III междунар. конф.-шк. «Современные проблемы физиологии и биохимии водных организмов». — Петрозаводск, 2010. — С. 40—42.
4. Горда А.І., Грубінко В.В. Інтенсивність біосинтезу протеїнів, вуглеводів та ліпідів у *Chlorella vulgaris* Beijer. за дії іонів цинку і свинцю // Укр. біохім. журн. — Т. 82, № 4 (дод. 1). — С. 167.
5. Грубінко В.В., Костюк К.В. Липидные перестройки в клеточных мембра-нах водорослей при воздействии ионов цинка и свинца // Там же. — С. 24.
6. Давыдова С.Л., Тагасов В.И. Тяжелые металлы как супертоксиканты XXI века. — М., 2002. — 140 с.
7. Золоторьова О.К., Шнюкова Е.І., Сиваш О.О., Михайленко Н.Ф. Перспек-тиви використання мікроводоростей у біотехнології. — К.: Альтерпрес, 2008. — 234 с.
8. Зубо Я.О., Кузнецов В.В. Применение метода run-on транскрипции для изучения регуляции экспрессии пластидного генома // Физиология рас-тений. — 2008. — Т. 55, № 1. — С. 114—122.
9. Кейтс М. Техника липидологии. Выделение, анализ и идентификация липидов. — М.: Мир, 1975. — 322 с.

10. Копытов Ю.П. Новый вариант тонкослойной хроматографии липидов // Экология моря. — 1983. — Вып. 12. — С. 76—80.
11. Костюк К.В. Влияние токсикантов на проницаемость мембран у пресноводных водорослей // Тез. докл. III междунар. конф.-шк. «Современные проблемы физиологии и биохимии водных организмов». — Петрозаводск, 2010. — С. 82—83.
12. Костюк К.В., Грубинко В.В. Роль мембранных АТФ-аз в адаптации гидробионтов к факторам водной среды // Гидробиол. журн. — 2010. — Т. 46, № 4. — С. 49—62.
13. Лакин Г.Ф. Биометрия. — М.: Высш. шк., 1990. — 352 с.
14. Методы физиолого-биохимического исследования водорослей в гидробиологической практике / Под ред. А. В. Топачевского. — Киев: Наук. думка, 1975. — 247 с.
15. Мецлер Д. Биохимия. Химические реакции в живой клетке.— М.: Мир, 1980. — Т. 1. — С. 264—267.
16. Определение содержания хлорофилла в планктоне пресных водоемов / Сост. Л.А. Сиренко, А.В. Курейшевич. — Киев: Наук. думка, 1982. — 52 с.
17. Оцінка стану водоймищ шляхом визначення пігментів фітопланктону / Методичний посібник з визначення якості води. — К., 2005. — С. 16—19.
18. Патологические анатомия и физиология // Ультраструктурная патология клетки. <http://www.nedug.ru/library/doc.aspx?item=34099>.
19. Прохорова М.И. Методы биохимического исследования. — Л.: Изд-во Ленингр. ун-та, 1982. — 222 с.
20. Степаньян О.В., Воскобойников Г.М. Влияние нефти и нефтепродуктов на морфофункциональные особенности морских макроводорослей // Биология моря. — 2006. — Т. 32, № 4. — С. 241—248.
21. Тяжелые металлы как фактор экологической опасности: Метод. указ. / Сост. Ю. А. Холопов. — Самара: СамГАПС, 2003. — 16 с.
22. Хит О. Фотосинтез (физиологические аспекты). — М.: Мир, 1971. — С. 106—107.
23. Abbas C.A., Card G.L. The relationship between growth temperature, fatty acid composition and the physical state and fluidity of membrane lipids in *Yersinia enterocolitica* // Biochim. Biophys. Acta. — 1980. — Vol. 602, N 3. — P. 469—476.
24. Aullon Alcaine A. Biodiesel from microalgae. — [http://upcommons.upc.edu/pfc/bitstream/2099.1/9406/1/micoralgae\\_thesis-Aullon2%5B1%5D.pdf](http://upcommons.upc.edu/pfc/bitstream/2099.1/9406/1/micoralgae_thesis-Aullon2%5B1%5D.pdf).
25. Chawla G., Viswanathan P.N., Devi S. Biochemical studies on the toxicity of linear alkylbenzene sulphonate to *Scenedesmus quadricauda* in culture // Environ. Exp. Bot. — 1987. — Vol. 27, N 3. — P. 311—323.
26. Dörmann P. Lipid synthesis, metabolism and transport / The structure and function of plastids / Ed. by R. R. Wise, J. K. Hoober. — Dordrecht: Springer, 2007. — Vol. 23. — P. 335—353.
27. Froehlich, J.E., Benning C., Dormann E. The digalactosyldiacylglycerol (DGDG) synthase DGDI is inserted into the outer envelope membrane of

- chloroplasts in a manner independent of the general import pathway and does not depend on direct interaction with monogalactosyldiacylglycerol synthase for DGDG biosynthesis // J. Biol. Chem. — 2001. — Vol. 276. — P. 31806—31812.
28. Kiyomi Ono, Haruki Hashimoto, Sakae Katoh. Changes in the number and size of chloroplasts during senescence of primary leaves of wheat grown under different conditions // Plant and Cell Physiology. — 1994. — Vol. 36, N 1. — P. 9—17.
29. Ohlrogge J.B., Kuhn D.N., Stumpf P.K. Subcellular localization of acyl carrier protein in leaf protoplasts of *Spinacia oleracea* // Proc. Nat. Acad. Sci. (USA). — 1979. — Vol. 76. — P. 1194—1198.
30. Reddin A., Prendeville G.N. Effect of oils on cell membrane permeability in *Fucus serratus* and *Laminaria digitata* // Mar. Pollut. Bull. — 1981. — Vol. 12, N 1. — P. 339—342.
31. Rozentsvet O.A., Bosenko E.S., Guschina I.A. Effect of heavy metals upon lipid metabolism in *P. perfoliatus* / 16th Intern. Plant Lipid symp., Budapest, Hungary, 1—4 June 2004. — Budapest, 2004. — P. 202—204.
32. Schmid K.M., Ohlrogge J.B. Lipid metabolism in plants // Biochemistry of lipids, lipoproteins and membranes / Ed. by D.E. Vance, J.E. Vance. 4th Edition. — Amsterdam: Elsevier Science B.V., 2002. — P. 93—126.
33. Vaskovsky V.E., Kostetsky E.Y., Vasendin I.M. A universal reagent for phospholipids analysis // J. Chromatography A. — 1975. — Vol. 114, N 1. — P. 129—141.
34. Wang L., Zhou Q., Chua H. Contribution of cell outer membrane and inner membrane to Cu<sup>2+</sup> adsorption by cell envelope of *Pseudomonas putida* 5-x // J. Environ. Science and Health, Part A. — 2004. — Vol. 39, N 8. — P. 2071—2080.
35. Webb M. Metallothionein in regeneration, reproduction and development // Exp. Suppl. — 1987. — Vol. 52. — P. 483—498.
36. Whiston A.I., McAuley P.J., Smith V.J. Removal of heavy metals from wastewater by marin microalgae // J. Exp. Bot. — 1995. — Vol. 46, N 1. — P. 13.

Тернопольский национальный  
педагогический университет

Поступила 19.06.12